

## مقایسه مدل‌های نسبت فراوانی و عامل اطمینان در پهنه‌بندی فرسایش بدلند (مطالعه موردی: بخشی از حوضه جاجرود)

عیسی جوکار سرهنگی \* - دانشیار گروه جغرافیا، دانشگاه مازندران  
نرگس مرتضایی - کارشناسی ارشد هیدرولوژی مورفولوژی دانشگاه مازندران

تأیید نهایی: ۱۳۹۵/۰۶/۲۳ پذیرش مقاله: ۱۳۹۴/۱۲/۱۵

### چکیده

بدلند شکل نهایی فرسایش آبی است که آثار تخریبی زیادی در محیط طبیعی دارد. دامنه‌های جنوبی البرز مرکزی در منطقه‌ی موردمطالعه به خاطر شرایط خاص زئومورفولوژیکی در معرض انسکال مختلف فرسایش، بهویژه فرسایش بدلند قرار دارد. با این وجود، تاکنون مطالعات کمی در این زمینه انجام شده است. هدف از این تحقیق مقایسه کارایی مدل‌های نسبت فراوانی و عامل اطمینان در پهنه‌بندی بخشی از حوضه جاجرود است. برای این منظور نقشه‌های عوامل مؤثر شامل جنس زمین، ارتفاع، شیب، جهت دامنه و پوشش گیاهی و کاربری اراضی منطقه تهیه و مورد استفاده قرار گرفتند. در مرحله بعد، سطح فرسایش بدلند موجود در هر طبقه از عوامل باهمپوشانی نقشه پراکنش بدلند در محیط ArcGIS محاسبه شد و ضریب نسبت فراوانی به دست آمد. با اعمال این ضرایب در لایه‌های اطلاعاتی و تلفیق آن‌ها، نقشه پهنه‌بندی منطقه با استفاده از مدل‌های نسبت فراوانی و عامل اطمینان تهیه گردید. ارزیابی مدل‌ها با استفاده از رابطه‌ی احتمال تجربی نشان داد که مدل‌های نسبت فراوانی و عامل اطمینان به ترتیب با احتمال تجربی  $0.93$  و  $0.99$  برای پهنه‌بندی فرسایش بدلند در منطقه مناسب هستند. اما در مقایسه، مدل عامل اطمینان کارایی بالاتری در جداسازی و شناسایی مناطق حساس به فرسایش بدلند دارد.

وازگان کلیدی: پهنه‌بندی، فرسایش بدلند، نسبت فراوانی، عامل اطمینان، جاجرود

## مقدمه

بدلندها در سراسر جهان اتفاق می‌افتد و جزء آن دسته از تحولات ژئومورفولوژیکی هستند که وابسته به فرآیندهای فرسایشی می‌باشند. در بدلندها شبیه دامنه‌ها به صورت شیارهایی با شبکه متراکم زهکشی و درهای<sup>۷</sup> شکل دیده می‌شوند. توسعه بدلندها مستلزم شیارهای خطی و فرسایش آبکندي است. عامل اصلی در کنترل شکل بدلند خصوصیات سنگ‌بستر می‌باشد. بدلندها به صورت مشخص در مناطق خشک به وجود می‌آیند؛ بالين وجود، در مناطق آب‌وهواي مثل مدیترانه نيز اتفاق می‌افتد (کاسارينا<sup>۱</sup>، ۲۰۰۶، ۵۲). توسعه بدلندها بر روی لاتریت هاي حوضه بيريهام<sup>۸</sup> يك شاخصی از فرسایش بيش از حد خاک در آب‌وهواي نوع مرطوب و خشک موسمی می‌باشد (قوش و همكاران<sup>۳</sup>، ۲۰۱۲، ۱۴۴۱).

چشم‌انداز بدلندها ممکن است به طور سطحی شبیه يکدیگر باشند، اما این احتمال وجود دارد که فرآیندهای مختلفی در تشکیل آن‌ها مؤثر باشند و در جزئیات مورفولوژیکی تفاوت‌های بسیاری با يکدیگر نشان دهنند (گروین و همكاران<sup>۴</sup>، ۲۰۰۷، ۶۹). بیشتر بدلندها در زمین‌های مارن، شیل، سیلت و رس واقع شده‌اند. اگرچه ممکن است در ماسه‌های غیر یکپارچه نيز دیده شوند. بدلندها در سنگ‌های نسبتاً غيرقابل نفوذ توسعه می‌یابند (بالستروس و همكاران<sup>۵</sup>، ۲۰۱۲).

اولین قدم در تهییه و جمع‌آوری آمار و اطلاعات از میزان تخریب اراضی، برآورد حساسیت و استعداد به فرسایش و به عبارت بهتر پهنه‌بندی پتانسیل فرسایش اراضی در منطقه موردنظر می‌باشد (رفیعی و همکاران، ۱۳۹۰، ۱). برای دستیابی به این مهم، بررسی‌های زیادی در سطح جهان و ایران انجام شده است. رومرو<sup>۶</sup> و همکاران(۲۰۱۲) در مقاله‌ای با عنوان ارزیابی تحولات بدلندها، با استفاده از تصاویر چند زمانه لنdest در منطقه پری پرنس<sup>۷</sup> ایتالیا با تشخیص مناطق بدلندی، مقدار و سرعت فرآیند فرسایش و فاکتورهای جغرافیایی مؤثر بر آن را بررسی نمود. اطلاعات تصاویر<sup>۸</sup> ETM<sup>+</sup> و TM<sup>۹</sup> ماهواره لنdest برای دوره زمانی ۲۰۰۶ – ۱۹۸۴ با تلفیق عکس‌های هوایی در منطقه‌ای که استعداد فراوانی به فرسایش دارد بدست آمده است. شاخص‌های طیفی گوناگون برای ارزیابی و آشکارسازی تحولات بدلند موردنبررسی قرار گرفت که اختلاف خیلی کمی بین نتایج آن‌ها نشان داده شد. به همین دلیل استفاده از ساده‌ترین و گستردترین شاخص طیفی که عبارت است از شاخص نرم‌السازی پوشش گیاهی مختلف (NDVI) در این مقاله توصیه شده است. همچنین نقشه احتمال خطر فرسایش به منظور بررسی شرایط محیطی اولیه و سیر تکاملی ۱۲ ساله تهییه شد. اعظم<sup>۱۰</sup> در بررسی بدلندهای آونلی<sup>۹</sup> در کانادا به این نتیجه رسید که زمین‌شناسی و نوسانات فصلی آب‌وهوا بر روی خصوصیات ژئوهیدرولوژی بدلندها مؤثر هستند.

در ایران اسدی و همکاران (۱۳۸۹) در مقاله‌ای با عنوان "ارزیابی و پهنه‌بندی خطر فرسایش خاک در حوضه آبخیز ناورود" خطر فرسایش را در قالب مدل<sup>۱</sup> Rusle و تعیین پارامترهای شش گانه‌ی آن با استفاده از سامانه اطلاعات جغرافیایی (GIS) و سنجش از دور(RS) ارزیابی نمودند. فاکتور فرسایندگی، پس از استخراج يك رابطه رگرسیونی، در ایستگاه‌های با باران‌سنجد ثبات، در همه ایستگاه‌های استان محاسبه و با روش کریجینگ پهنه‌بندی گردید. عرب قشقایی

<sup>1</sup> Katharina<sup>2</sup> Birbhum<sup>3</sup> Ghosh et al<sup>4</sup> Grubin et al<sup>5</sup> Balesteros et al<sup>6</sup> Romero et al<sup>7</sup> Pre-Pyrenees<sup>8</sup> Azam<sup>9</sup> Avonlea<sup>10</sup> Revised universal soil loss equation

(۱۳۹۰) در پایان نامه کارشناسی ارشد خود با عنوان "پهنه‌بندی فرسایش خندقی در حوضه آبخیز طرود فیروزکوه" به شناسایی عوامل مؤثر بر ایجاد فرسایش و پهنه‌بندی آن اقدام نمود. مهم‌ترین عوامل مؤثر در وقوع فرسایش خندقی چون شب، جهت شب، سنگ‌شناسی، کاربری اراضی، فاصله از شبکه راه‌های ارتباطی، مدیریت اراضی و تاج پوشش انتخاب و سپس این لایه‌ها در سیستم اطلاعات جغرافیایی تهیه گردید. به کمک روش<sup>۱</sup> MCM وزن دهی عوامل و طبقات صورت گرفت. باقرزاده و همکاران (۱۳۸۹) در مقاله‌ای تحت عنوان "پهنه‌بندی خطر فرسایش و درجه رسوب‌دهی را استفاده از سیستم اطلاعات جغرافیایی در شرایط اقلیمی خشک و نیمه‌خشک" میزان رسوب‌دهی در حوضه آبریز طرق را با مدل PSIAC در برنامه GIS مورد ارزیابی قرارداده‌اند. طبق نتایج بدست‌آمده محدوده موردمطالعه در پنج کلاس فرسایشی خیلی زیاد، زیاد، متوسط، کم و ناچیز طبقه‌بندی شد. همچنین نتایج حاصل از نقشه پهنه‌بندی نشان داد که پهنه‌های با رسوب‌دهی زیاد در یک پراکنش معنادار در جنوب و شمال حوضه در بخش‌هایی که نوع لیتو‌لوژی را واحدهای آبرفتی و پوشش زمین را کاربری زراعی تشکیل داده مشاهده می‌شود. محاسبات آماری نیز نشان داد که کلاس‌های درجه رسوب‌دهی متوسط و بالا در مجموع ۶۰٪ مساحت کل حوضه و همین‌طور ۸۴٪ از تولید رسوب کل حوضه آبریز طرق را تشکیل می‌دهد. رفیعی و همکاران (۱۳۹۰) در مقاله‌ای با عنوان "پهنه‌بندی خطر فرسایش در شمال غرب سرخس با استفاده از GIS و روش تحلیل سلسله مراتبی" به بررسی پتانسیل فرسایش و تعیین مناطق با حساسیت بالا به فرسایش در منطقه موردمطالعه پرداخته‌اند. وقوع فرسایش شدید در منطقه مشکلاتی را برای تأسیسات استحصال گاز و نیز جاده سرویس چاه‌ها ایجاد کرده است. در اولین قدم برای مقابله با این پدیده نیاز به تعیین مناطق با فرسایش‌پذیری بالا می‌باشد. برای این منظور نقشه پهنه‌بندی استعداد فرسایش در منطقه تهیه گردید و از ۵ عامل شب، سنگ‌شناسی، بهره‌ریختگی مصنوعی، تراکم آبراهه و پوشش گیاهی استفاده شد. پس از تهیه نقشه عوامل ذکر شده و کلاس‌بندی آن‌ها به روش سلسله مراتبی بر اساس وزن نسبی بدست‌آمده برای هر عامل در محیط GIS نقشه‌ها با یکدیگر تلفیق و درنهایت نقشه پهنه‌بندی فرسایش منطقه تهیه شد. بیانی و همکار (۱۳۹۲) تأثیر ویژگی‌های رسوب‌شناسی در توسعه فرسایش تونلی در سازند فلیش مکران را موردنبررسی قرارداد. نتایج تحقیق نشان داد که اسیدیته گل اشیاع، هدایت الکتریکی، درصد رس، سیلت و ماسه رسوب، یون‌های کلسیم، پتاسیم، سدیم و درصد آهک به ترتیب مؤثرترين عوامل رسوب‌شناسی بر ایجاد فرسایش تونلی در منطقه موردنتحقيق می‌باشد.

اما بیشتر روش‌هایی که برای پهنه‌بندی مناطق از مدل‌های نسبت فراوانی و عامل اطمینان استفاده کرده‌اند، برای شناسایی مناطق حساس به خطر زمین‌لغزش و پهنه‌بندی آن به کار گرفته‌شده‌اند که برخی از آن‌ها عبارت‌اند از فاطمی عقدا و همکاران، ۱۳۸۲؛ کرمی و همکاران، ۱۳۸۶، مقیمی و همکاران، ۱۳۸۷؛ Lee & Sambath, 2004؛ Lee, 2006؛ Pradhan & lee, 2010؛ Yalcin et al, 2011. منطقه‌ی موردمطالعه که در دامنه‌های جنوبی البرز مرکزی قرار دارد، با شرایط متنوع زمین‌شناسی، آب‌وهوازی و توپوگرافی عمدۀ کوهستانی، بیشتر شرایط طبیعی برای ایجاد فرسایش بدند را داراست و از این‌رو شناسایی اراضی حساس به فرسایش بهویژه فرسایش بدند، جهت اجتناب از مخاطرات طبیعی آن ضروری می‌باشد. یکی از اصلی‌ترین اقدام‌ها در این رابطه تعیین میزان حساسیت به فرسایش و تهیه ی نقشه پهنه‌بندی منطقه با استفاده از مدل‌های مناسب است. هدف از این تحقیق مقایسه‌ی نتایج بدست‌آمده از مدل نسبت فراوانی با مدل عامل اطمینان در ارزیابی حساسیت منطقه به فرسایش بدند است.

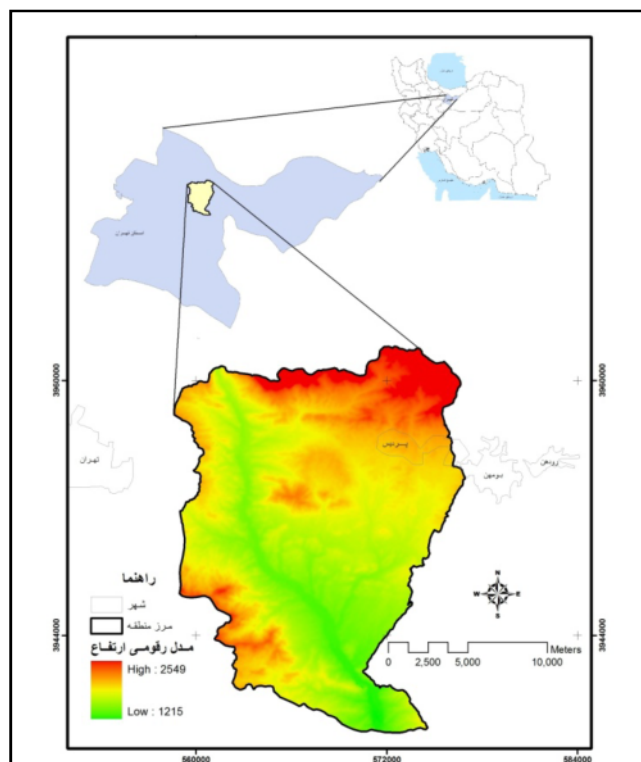
## مواد و روش‌ها

<sup>1</sup> Multi Class Maps

### موقعیت جغرافیایی منطقه

منطقه مورد مطالعه با مساحت  $30,647/71$  هکتار در عرض جغرافیایی  $35^{\circ} 35' 35''$  تا  $35^{\circ} 48' 06''$  شمالی و طول جغرافیایی  $53^{\circ} 38' 51''$  تا  $53^{\circ} 50' 50''$  شرقی واقع شده است. این منطقه در دامنه جنوبی البرز مرکزی و در قسمت شمال شرقی استان تهران در حوضه جاجrud و در حدفاصل سد لتيان تا سد ماملو قرار دارد. شکل ۱ موقعیت حوضه را در استان تهران و ایران نشان می‌دهد. فرسایش بدلند که در سراسر حوضه مورد مطالعه پراکنده می‌باشد، مساحت از  $3817/57$  هکتار از مساحت منطقه را به خود اختصاص داده است. بیشترین پراکنش بدلند در قسمت‌های جنوب، جنوب شرقی و مرکز آن می‌باشد.

با توجه به اینکه حوضه جاجrud بخشی از البرز مرکزی را شامل می‌شود، به تبعیت از ساختمان و نظام چین خورده‌گی کوههای البرز، شب تندی دارد. جهت کوهها به موازات هم و به صورت غربی – شرقی است. ارتفاع حداقل و حداکثر در منطقه به ترتیب  $1215$  و  $2549$  متر و ارتفاع میانگین منطقه  $1672$  متر از سطح دریا می‌باشد. همچنین میانگین شبیب در منطقه  $21/72$  درصد و میانگین بارندگی منطقه  $265/4$  میلی‌متر است.



شکل ۱: نقشه موقعیت جغرافیایی منطقه در استان تهران و ایران

### روش‌ها

در این تحقیق برای تعیین حساسیت به فرسایش بدلند و پهنه‌بندی منطقه از مدل‌های نسبت فراوانی و عامل اطمینان استفاده شده است. به منظور اجرای مدل‌های مذکور در محیط سیستم اطلاعات جغرافیایی (GIS)، نخست لایه‌های هر یک از عوامل مدل در محیط ArcGIS تهیه شدند. لایه‌های اطلاعاتی که در این تحقیق برای پهنه‌بندی استفاده شده‌اند، عبارت‌اند از جنس زمین، ارتفاع از سطح دریا، شب، جهت دامنه و پوشش گیاهی و کاربری اراضی. لایه جنس زمین از نقشه زمین‌شناسی شرق تهران با مقیاس  $1:100,000$ ؛ سازمان زمین‌شناسی کشور تهیه گردید. لایه‌های ارتفاع، شب و جهت دامنه از مدل رقومی ارتفاع (DEM) با اندازه سلول  $30$  متر به دست آمد و از تصویر گوگل ارث سال  $2014$  و

عکس هوایی ۰:۲۰۰۰ جهت تهیه لایه پوشش گیاهی و کاربری اراضی و همچنین پرداختن بدلندهای منطقه استفاده شد. برای کنترل و تکمیل لایه پرداختن فرسایش بدلند در منطقه از مشاهدات میدانی و دستگاه موقعیت‌یاب جهانی (GPS) بهره گرفته و در موارد مغایرت با واقعیت زمینی اصلاح شده است. لایه‌های یادشده در چند طبقه تقسیم‌بندی و برای اجرای مدل به فرمت شبکه‌ای تبدیل شدند. در مرحله‌ی بعد، این لایه‌ها مطابق با مدل‌های موردنظر وزن دهی شد. با تلفیق و جمع جبری لایه‌های ساخته شده در محیط ArcGIS نقشه‌های حساسیت به فرسایش بدلند در منطقه با استفاده از مدل‌های نسبت فراوانی و عامل اطمینان به دست آمد.

### ۱ مدل نسبت فراوانی<sup>۱</sup>

پس از تهیه لایه‌های اطلاعاتی عوامل مؤثر در فرسایش بدلند و طبقه‌بندی آن‌ها، سطح هر طبقه از عامل با استفاده از نرم‌افزار تعیین شد. سپس فراوانی سطوح بدلند موجود در هر طبقه با استفاده از همپوشانی نقشه پرداختن بدلند با هر کدام از لایه‌های عوامل به دست آمد. ضریب نسبت فراوانی طبقات عوامل با استفاده از رابطه (۱) محاسبه گردید.

$$FR = A / B \quad \text{رابطه (۱)}$$

که در آن A درصد پرداختن بدلند در هر طبقه، B درصد مساحت همان طبقه از لایه و FR نسبت فراوانی می‌باشد. چنانچه این ضریب برای هر طبقه بیشتر از یک باشد، حساسیت آن طبقه برای تشکیل و گسترش فرسایش بدلند بالا می‌باشد. درنهایت ضریب نسبت فراوانی هر طبقه از عوامل در محیط ArcGIS باهم جمع و بر پایه‌ی رابطه (۲)، نقشه پهن‌بندی و حساسیت منطقه به فرسایش بدلند با بهره‌گیری از مدل نسبت فراوانی به دست آمد.

$$\sum (\text{ضریب نسبت فراوانی} \times \text{هر لایه اطلاعاتی}) = \text{شاخص پهن‌بندی} \quad \text{رابطه (۲)}$$

### ۲ مدل عامل اطمینان<sup>۲</sup>

از این مدل برای نخستین بار توسط محمدی و همکاران (۱۳۸۸) در ایران برای پهن‌بندی خطر زمین‌لغزش در بخشی از حوضه آبخیز هراز استفاده شده است. تفاوت اصلی این مدل با دیگر مدل‌های دومتغیره، چگونگی تلفیق نقشه‌ها می‌باشد. بدین‌سان که در آغاز نقشه‌ها کلاسه‌بندی شده، سپس با بهره‌گیری از رابطه (۳) وزن هر واحد کاری به دست می‌آید که برای وضعیت‌های مختلف PPa و PPb دو رابطه مختلف وجود دارد. حال برای ترکیب نقشه‌ها یکی X و دیگری Y در نظر گرفته می‌شود. سپس از رابطه (۴) برای ترکیب وزن‌ها بهره‌گیری می‌شود که برای حالت‌های مختلف X و Y سه فرمول وجود دارد.

$$CF = \quad = \quad \text{رابطه (۳)}$$

<sup>۱</sup> Frequency Ratio

<sup>۲</sup> Certainty Factor

$$\text{Rابطه (۴)} \quad \text{opposite sign} \quad X, Z = \frac{X+Y}{1-\min(X|Y)} \quad \text{If} \quad X, Y$$

که در آن PPa نسبت بدلندها در یک واحد کاری به مساحت آن واحد و PPs نسبت بدلندهای منطقه به مساحت کل منطقه می‌باشد. نقشه ترکیبی دوباره به عنوان X و نقشه سوم Y در نظر گرفته می‌شود. دوباره نقشه X و Y جدید بر پایه رابطه (۴) ترکیب می‌شوند. به این ترتیب تا آخرین نقشه این تلفیق انجام شده و وزن نهایی محاسبه می‌شود که میزان آن بین ۱-۱ تا ۱ است (بیناقی و همکاران<sup>۱</sup>، ۱۹۹۸ و لن و همکاران<sup>۲</sup>، ۲۰۰۴).

### ارزیابی و اعتبارسنجی مدل‌ها

نقشه‌های پهنه‌بندی فرسایش بدلند در منطقه که با استفاده از مدل‌های نسبت فراوانی و مدل عامل اطمینان تهیه شده‌اند، با روش احتمال تجربی مورد ارزیابی قرار گرفتند. برای این منظور از رابطه (۵) استفاده شده است. با توجه به این که برای وزن‌دهی لایه‌های مختلف اطلاعاتی در مدل‌های نسبت فراوانی و عامل اطمینان از نقشه پراکنش بدلندهای منطقه استفاده شده است، از این رو نمی‌توان برای ارزیابی نقشه‌های پهنه‌بندی از نقشه توزیع بدلندهای منطقه استفاده کرد. برای رفع این مشکل، حدود یک‌سوم از سطوح بدلندی منطقه در پهنه‌بندی استفاده نشد و برای ارزیابی نقشه‌ها از این مناطق استفاده شد. به این صورت که یک‌سوم از بدلندهای منطقه که در پهنه‌بندی استفاده نشده‌اند را روی نقشه‌های پهنه‌بندی اندخته و پراکنش بدلندها در ردۀ‌های مختلف نقشه‌های پهنه‌بندی محاسبه شد. در مرحله بعد با استفاده از رابطه (۵) میزان دقیق مدل‌ها محاسبه شد.

$$\text{Rابطه (۵)} \quad P = ks / s$$

که در آن p احتمال تجربی، ks سطح بدلندها در طبقه متوسط به بالا و s سطح کل بدلندهای منطقه است. مدلی که میزان p آن بیشتر باشد، برای پهنه‌بندی منطقه مناسب‌تر است.

### بحث و یافته‌ها

در این تحقیق، عوامل زمین‌شناسی، توپوگرافی و پوشش گیاهی و کاربری اراضی برای تهیه نقشه‌های پهنه‌بندی بخشی از حوضه جاجرود مورد استفاده قرار گرفت. بیشتر این عوامل در تحقیقاتی که در زمینه‌ی فرسایش خاک انجام شد، از قبیل کاسارینا (۲۰۰۶)، عرب قشقایی (۱۳۹۰) و رفیعی و همکاران (۱۳۹۰) مورد توجه و تأیید قرار گرفته است. نقشه هر یک از لایه‌های مؤثر در پهنه‌بندی و پراکنش بدلند در شکل‌های ۲، ۳، ۴، ۵ و ۶ ارائه شده است. جدول ۱ طبقات عوامل مؤثر در فرسایش بدلند، مساحت آن‌ها، سطح بدلند، ضرایب نسبت فراوانی و وزن عامل اطمینان را به تفکیک طبقات عوامل مؤثر در پهنه‌بندی نشان می‌دهد. همچنین نتایج اجرای مدل‌های نسبت فراوانی و عامل اطمینان و تهیه‌ی نقشه‌های حساسیت به فرسایش بدلند و پهنه‌بندی منطقه که در محیط ArcGIS به دست آمد، در شکل‌های ۷ و ۸ آمده است.

همان‌طور که در جدول ۱ آمده است، از نظر سازندهای زمین‌شناسی، بیشترین تراکم بدلند با ضریب نسبت فراوانی ۰/۹۹۴ در گل‌سنگ، مارن و گچ، کنگلومرای قرمز، لاتریت و شن و قلوه‌سنگ مشاهده شد. این سنگ‌ها حساسیت بیشتری به فرسایش بدلند دارند که با نتایج تحقیقات بالستروس و همکاران (۲۰۱۲) مطابقت نشان می‌دهد. در مقابل، در

<sup>1</sup> Binaghi et al

<sup>2</sup> Lan et al

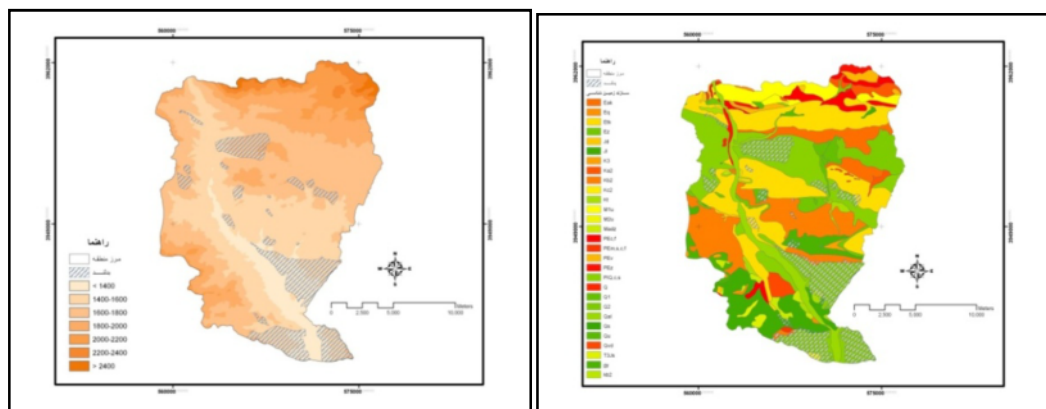
طبقات مقاوم که جنس غالب سنگ در آن‌ها کوارتزیت سفید با درون لایه ماسه‌سنگ، کنگلومرای ضخیم لایه، ماسه‌سنگ و آهک می‌باشد، فرسایش بدلند ثبت نشده است. از نظر طبقات ارتفاعی، بیشترین تراکم بدلند با ضربه ۲/۸۰۶ در ارتفاع کمتر از ۱۴۰۰ متر وجود دارد و از ارتفاعات ۲۰۰۰ متر فرسایش بدلند مشاهده نشده است. بهاین ترتیب، تراکم بدلند در منطقه موردمطالعه با ارتفاع، رابطه معکوس دارد؛ به طوری که هرچه ارتفاع افزایش پیدا کند از تراکم بدلندها در منطقه کاسته می‌شود. در ارتفاعات پایین، دما و تبخیر بیشتر بوده و بارندگی کمتر است که با کاهش پوشش گیاهی می‌تواند حساسیت به فرسایش بدلند را افزایش دهد. از نظر شیب، بیشترین تراکم بدلند در طبقات ۵-۱۰ درصد و کمترین تراکم بدلند در طبقات بالاتر از ۵۰ درصد مشاهده شد، یعنی در ابتدا با افزایش شیب (تا ۱۰ درصد) تراکم بدلندها بیشتر شده و سپس از تراکم بدلندها در شیب‌های بالاتر کاسته می‌شود. در شیب‌های بالاتر، خاک زیادی وجود ندارد که منجر به فرسایش بدلند شود. همچنین در منطقه موردمطالعه، بیشترین تراکم بدلند با ضربه نسبت فراوانی ۱/۵۷ درجه‌های غربی و کمترین تراکم بدلند در مناطق بدون جهت و شمال شرقی مشاهده گردید بهاین ترتیب از نظر جهت دامنه، پراکنش بدلندها در جهت‌های مختلف مناسب بوده و اختلاف زیادی وجود ندارد. در بین پوشش‌گیاهی و کاربری‌های مختلف، پارک خجیر که قدمت آن نسبت به عملکرد فرسایش درگذشته ناچیز است و همچنین مراتع بالاترین حساسیت را به فرسایش بدلند نشان می‌دهند. در مناطق با رخمنون توده‌ی سنگی و همچنین مناطق حفاظتی، پراکنش بدلندها ناچیز است.

جدول ۱- پراکنش بدلند در طبقات مختلف عوامل مؤثر و محاسبه ضرایب نسبت فراوانی و عامل اطمینان

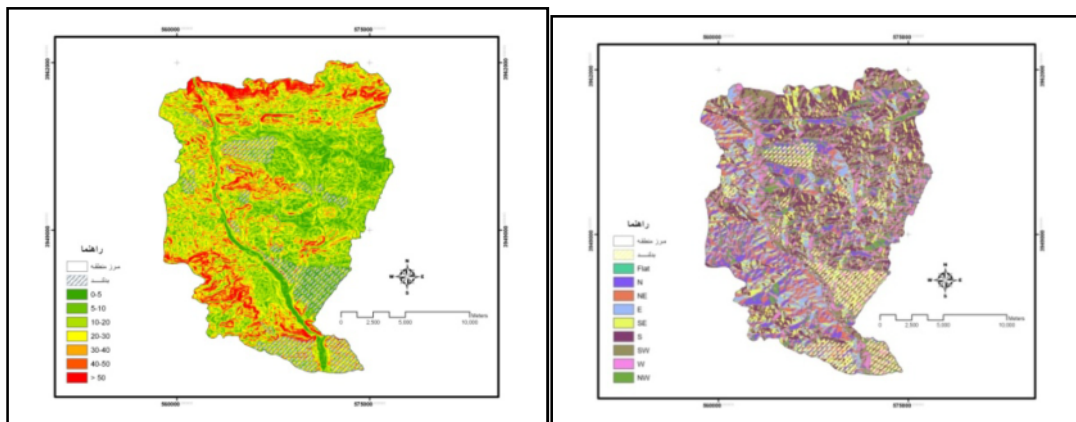
عامل اطمینان	نسبت فراوانی	مساحت بدلند	مساحت طبقات	طبقات	عامل مؤثر
-۰/۷۸۶۷۸	۰/۲۳۳۲۸	۱۲۰/۹۵۳۳	۴۷۴۳/۹۱۷	A*	جنس زمین
-۰/۸۷۹۸۳	۰/۱۳۲۹۵	۱۰۷/۵۷۵	۷۴۰۳/۱۶۴	B	
.	.	.	۱۳۳۷/۷۰۸	C	
-۰/۸۶۰۷۶	۰/۱۵۳۷	۷۸/۱۰۲۲	۴۶۴۹/۲۹۴	D	
.	.	.	۱۳۵۸/۶۵۷	E	
-۰/۶۹۸۳۱	۰/۳۲۶۶۲	۱/۶۱۳۳	۴۵/۱۹۳	F	
۰/۷۴۷۷۲	۰/۹۹۴۰۵	۲۶۶۰/۵۴۵۰	۸۱۳۰/۳۴۱	G	
-۰/۷۵۷۲۹	۰/۲۶۴۶۱	۸۶/۱۶۸۱	۲۹۷۹/۴۲۵	H	
۰/۷۲۳۳۱	۲/۸۰۶۵	۹۹۶/۷۶۰۹	۳۲۲۶/۳۹۸	< ۱۴۰۰	
۰/۱۷۵۴۲	۱/۱۸۴۹۹	۱۲۵۷/۲۳۵۹	۹۶۳۸/۱۴۹	۱۴۰۰-۱۶۰۰	
-۰/۵۹۷۸۸	۰/۶۵۲۷۱	۷۵۱/۹۱۴۰	۱۰۴۶۵/۰۰۸	۱۶۰۰-۱۸۰۰	ارتفاع (متر)
-۰/۹۰۹۳۶	۰/۱۰۰۷۲	۴۹/۰۳۴۷	۴۴۲۲/۵۷۰	۱۸۰۰-۲۰۰۰	
.	.	.	۱۷۹۵/۲۸۱	۲۰۰۰-۲۲۰۰	
.	.	.	۸۶۱/۳۱۸	۲۲۰۰-۲۴۰۰	
.	.	.	۲۳۸/۱۷۹	> ۲۴۰۰	
۰/۱۶۷۱۸	۱/۱۷۷۱۸	۲۴۳/۱۹۸۴	۲۰۷۲/۳۲۳	-۵	شیب (درصد)
۰/۲۹۱۹۸	۱/۳۵۶۶۲	۶۴۲/۸۷۰۵	۴۷۵۳/۴۰۲	۵-۱۰	
۰/۱۳۶۵۱	۱/۱۴۰۱۲	۱۱۹۷/۵۴۰۳	۱۰۵۳۶/۰۷۳	۱۰-۲	
۰/۰۳۸۵۵	۱/۰۳۵۹۶	۶۳۲/۵۱۳۹	۶۱۲۴/۴۴۲	۲۰-۳	

-۰/۴۵۷۱۳	۰/۷۰۸۴۴	۲۴۶/۸۹۳۵	۳۴۹۵/۷۹۲	۳۰-۴۰	
-۰/۶۲۸۸۵	۰/۳۹۵۹۸	۶۶/۷۷۸۷	۱۶۹۱/۶۲۷	۴۰-۵۰	
-۰/۸۸۳۴۵	۰/۱۲۷۸۰	۲۵۰/۰۹۳۳	۱۹۶۹/۵۱۲	> ۵۰	
-۰/۵۶۳۸۲	۰/۶۶۳۳۰	۱/۳۷۶۹	۲۰/۸۲۲	بدون جهت	
۰/۰۳۲۹۰	۱/۰۳۰۵۲	۲۹۵/۶۵۴۸	۲۸۷۷/۶۳۵	شمالي	
-۰/۳۰۲۲۷	۰/۷۸۶۰۸	۲۵۵/۸۰۵۸	۳۲۶۴/۰۱۴	شمال شرقى	
-۰/۲۶۶۲۱	۰/۸۰۶۶۷	۲۹۷/۳۳۷۶	۳۶۹۷/۱۱۸	شرقى	
-۰/۰۷۶۱۸	۰/۹۳۵۸۱	۳۵۱/۳۹۰۰	۳۷۶۶/۲۴۴	جنوب شرقى	
-۰/۲۳۳۹۶	۰/۸۲۶۰۱	۴۹۸/۳۳۵۳	۶۰۵۱/۲۳۷	جنوبى	
-۰/۱۲۱۴۳	۰/۹۰۱۴۵	۴۴۲/۷۶۸۰	۴۹۲۶/۵۳۴	جنوب غربى	
۰/۴۰۳۴۰	۱/۵۷۰۳۲	۵۳۲/۲۴۷۹	۳۳۹۹/۶۶۰	غربى	
۰/۳۴۱۹۵	۱/۹۴۴۸۰	۳۷۹/۹۹۲۸	۲۶۳۸/۰۱۲	شمالي غربى	
*	*	*	۱۶۸۷/۷۱	مسکونى و باغ	
*	*	*	۷۸۲/۲۲۴	دریاچه سد	
*	*	*	۱۹۱۹/۵۸۵	توده سنگى	
-۰/۶۴۰۶۸	۰/۳۸۸۲۶	۱۱۷/۶۴۲۲	۲۶۰۴/۳۳۷	جنگل کاری مصنوعى	پوشش گیاهی و کاربری
-۰/۹۸۵۶۲	۰/۰۱۶۲۴	۲/۷۸۷۰	۱۴۷۴/۴۳۴	حفظاتى	
-۰/۰۸۰۱۸	۰/۹۳۳۸۴	۱۴۷۵/۷۵۷۹	۱۳۵۸۳/۲۴۳	مرتع	
۰/۳۵۵۸۱	۱/۴۵۸۶۱	۱۴۵۸/۷۶۱۹	۸۵۹۶/۱۷۳	پارک خجیر	

A\*: آهک با لایه‌های نازک مارن، آهک نازک لایه و توده‌ای، آندزیت، دایک و دیوریت، آهک اوربیتولین دار، گایپرو و دیوریت، سیل، B: آهک، مارن و دولومیت، آندزیت، دایت، آنگلولمرا همراه با توف، C: کوارتزیت سفید با درون لایه ماسه‌سنگ، کنگلومراي ضخیم لایه، ماسه‌سنگ و آهک، آهک، کنگلومرا و گچ، توف و شیل D: سیلتستون و شیل دولومیت‌دار، سیلتستون، شیل، رس، ماسه‌سنگ و آهک، کنگلومرا و ماسه‌سنگ، آهک ماسه‌ای و مارنی، E: ماسه‌سنگ و مارن قرمز، ماسه‌سنگ و کنگلومرا، سیلتستون، F: ماسه‌سنگ و گل سنگ و سیلت، کنگلومرا، گل سنگ و مارن، G: گل سنگ، مارن و گچ، کنگلومراي قرمز، لاتریت و شن و قله‌سنگ، H: گچ، مخروط افکنه کنگلومرائی، رسوبات آبرفتی.



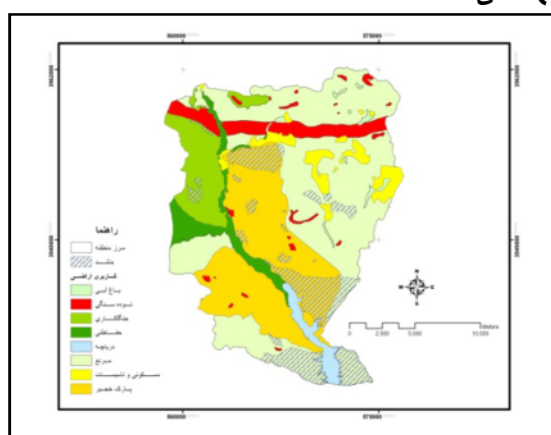
شکل ۳: ۱: پراکنش بدلنده در طبقات ارتفاع منطقه Error! No text of specified style in document.  
پراکنش بدلنده در سازندهای زمین‌شناسی



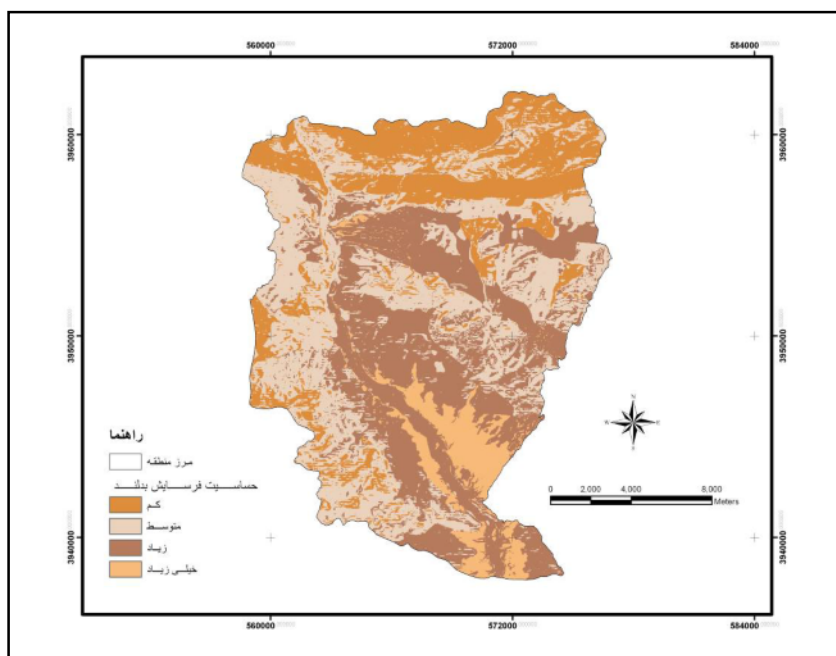
شکل ۴: پرائنس بدلند در طبقات شیب منطقه

شکل ۵: پرائنس بدلند در جهات مختلف

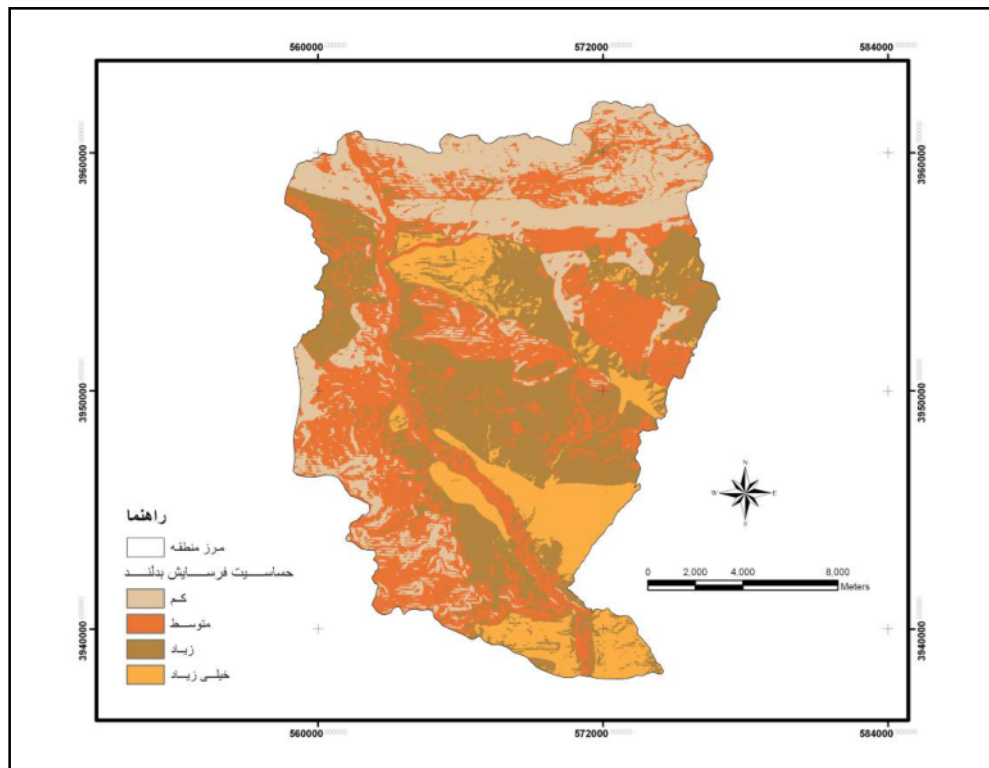
document.



شکل ۶: پرائنس بدلند در کاربری ها و پوشش گیاهی منطقه



شکل ۷: نقشه پهنه‌بندی فرسایش بدلند در منطقه با استفاده از مدل نسبت فراوانی



شکل ۸: نقشه پهنه‌بندی فرسایش بدلند در منطقه با استفاده از مدل عامل اطمینان

### نتیجه‌گیری

بررسی پیشینه‌ی تحقیق درزمینه فرسایش نشان داد که در ایران بیشتر به فرسایش آبکنندی (خندقی) اهمیت داده شده و به اشکال دیگر آن مانند فرسایش بدلند به صورت جداگانه توجه نشده است. در این تحقیق ارتباط عوامل سازنده‌ی زمین‌شناسی، ارتفاع، شیب، جهت دامنه و پوشش گیاهی و کاربری اراضی با فرسایش بدلند در منطقه مورد بررسی قرار گرفت. نتایج همپوشانی نقشه پراکنش بدلندها با لایه‌های عوامل مؤثر در منطقه و استفاده از مدل‌های نسبت فراوانی و عامل اطمینان نشان داد که سازنده‌های زمین‌شناسی گل‌سنگ، مارن و گچ، کنگلومراتی قرمز، لاتریت و شن و قلوه‌سنگ با طبقه ارتفاعی کمتر از ۱۴۰۰ متر، شیب ۵-۱۰ درصد، جهت دامنه‌ی غربی و پوشش گیاهی و کاربری پارک خجیر دارای ضریب فراوانی بالاتری بوده و درنتیجه بیشتر از دیگر طبقه‌های عوامل مؤثر هستند، به طوری که بیشترین حساسیت را به فرسایش بدلند دارند.

ارزیابی نقشه‌های پهنه‌بندی فرسایش بدلند و مقایسه‌ی مدل‌ها با استفاده از روش احتمال تجربی و رابطه (۵) صورت گرفته است. در این رابطه یک سوم از بدلندهای منطقه که در مدل‌سازی و پهنه‌بندی استفاده نشده را با نقشه‌های پهنه‌بندی قطع داده و پراکنش بدلندها در رددهای مختلف حساسیت فرسایش محاسبه گردید و با استفاده از رابطه (۵) میزان دقت مدل‌ها محاسبه شد. میزان احتمال تجربی ( $P$ ) برای مدل نسبت فراوانی  $0/93$  و برای مدل عامل اطمینان  $0/99$  به دست آمد که حاکی از مناسب بودن مدل‌های مورد استفاده در این تحقیق برای پهنه‌بندی فرسایش بدلند در منطقه است. اما در مقایسه، با توجه به این که ۹۹ درصد از پراکنش بدلندهای موردنظر برای ارزیابی در مدل عامل اطمینان در مناطق با حساسیت خیلی زیاد و زیاد قرار گرفته‌اند، این روش پهنه‌بندی مناسب‌تر است. این نتیجه با نتایج تحقیقات محمدی و همکاران (۱۳۸۸) مبنی بر دقت بیشتر مدل عامل اطمینان از مدل‌های دیگر پهنه‌بندی همخوانی دارد.

با توجه به وجود محدودیت‌ها و تنگناهای بستر توسعه در مناطق با فرسایش بدند پیشنهاد می‌شود که بیشترین اقدامات حفاظتی و قرق مراتع در مناطقی صورت گیرد که در نقشه‌ی پهنه‌بندی حاصل از این تحقیق با استفاده از مدل عامل اطمینان به عنوان پهنه‌های با خطر حساسیت خیلی زیاد تعیین و مشخص شده است.

## منابع

- اسدی، حسین، مجید وظیفه دوست، سیدعلی موسوی و محدثه هنرمند، ۱۳۸۹، ارزیابی و پهنه‌بندی خطر فرسایش خاک با استفاده از معادله جهانی تلفات خاک اصلاح شده، سامانه اطلاعات جغرافیایی و سنجش از دور در حوزه آبخیز ناورود، ارائه دستاوردهای پژوهشی شرکت سهامی آب منطقه‌ای گیلان، صص. ۱-۱۳.
- باقرزاده، علی، محمدرضا منصوری داشور و پرویز منصوری داشور، ۱۳۸۹، پهنه‌بندی خطر فرسایش و درجه رسوب‌دهی با استفاده از سیستم اطلاعات جغرافیایی در شرایط اقلیمی خشک و نیمه‌خشک، دومین همایش ملی جغرافیا و برنامه‌ریزی شهری، فضای جغرافیایی، رویکرد آمایشی و مدیریت محیط. اسلامشهر، دانشگاه آزاد اسلامی واحد اسلامشهر.
- رفیعی، محبوبه، مجتبی رحیمی، ناصر حافظی مقدس و غلامحسین کرمی، ۱۳۹۰، پهنه‌بندی خطر فرسایش در شمال غرب سرخس با استفاده از GIS و روش تحلیل سلسله مراتبی، پانزدهمین همایش انجمن زمین‌شناسی ایران.
- عرب قشقایی، زهراء، داود نیک کامی و شادر، صمد، ۱۳۹۰، پهنه‌بندی فرسایش خندقی در حوضه آبخیز طرود فیروزکوه، فصلنامه جغرافیایی سرزمین، سال هشتم، شماره ۳۱، صص. ۱۰۷-۱۱۹.
- فاطمی عقد، محمود، جفر غیومیان و عقیل اشقلی فراهانی، ۱۳۸۲، ارزیابی کارایی روش‌های آماری در تعیین پتانسیل خطر زمین‌لغزش، مجله علوم زمین، شماره ۱۲، صص. ۲۸-۴۷.
- کرمی، فربیا، مریم بیانی خطیبی و داود مختاری، ۱۳۸۶، ارزیابی و پهنه‌بندی خطر حرکات توده‌ای مواد در حوضه آبریز اوجان چای، جغرافیا و توسعه، شماره ۹، صص. ۱۰۷-۱۲۴.
- محمدی، مجید، حمیدرضا مرادی، سادات فیض نیا و حمیدرضا پورقاسمی، ۱۳۸۸، ارزیابی کارایی مدل‌های عامل اطمینان، ارزش اطلاعات و فرایند تحلیل سلسله مراتبی در پهنه‌بندی خطر زمین‌لغزش (بررسی موردی: بخشی از حوزه آبخیز هراز)، نشریه مرجع آبخیزداری، مجله متابع طبیعی ایران، دوره ۶۲ شماره ۴، صص. ۵۳۹-۵۵۱.
- مقیمی، ابراهیم، سید‌کاظم علوی پناه و تیمور جعفری، ۱۳۸۷، ارزیابی و پهنه‌بندی عوامل مؤثر در وقوع زمین‌لغزش دامنه‌های شمالی آلاذاغ (مطالعه موردی: حوضه زهکشی چناران در استان خراسان شمالی)، پژوهش‌های جغرافیایی، شماره ۵۴، صص. ۵۳-۷۵.
- یمانی، مجتبی و محمد اکبریان، ۱۳۹۲، تأثیر ویژگی‌های رسوب‌شناسی در توسعه فرسایش تونلی در سازند فلیش مکران، (مطالعه موردی: محدوده شهرستان جاسک)، جغرافیا و مخاطرات محیطی، شماره ۷، صص. ۱-۱۷.
- Azam, Sh., Khan, F., 2013, *Geohydrological properties of selected badland sediment in Saskatchewan, Canada*, Bulletin of Engineering Geology and the Environmental (Springer link).
- Ballesteros, J.A., Bodoque, J.M., Lucia, A., 2012, *Dendrogeomorphology in badland: methods case studies and prospects*, (Elsevier), PP. 1-10.
- Binaghi, E., Luzzi, L., Maadella, P., Pergalani F., Rampini, A., 1998, *Slope instability donation: a comparison between certainty factor and fuzzy Dempster-Shafer approaches*, Natural Hazard, No. 17, PP. 77-97.
- Ghosh, S., Bhattacharya, K., 2012, *Multivariate erosion risk assessment of lateritic badlands of Birbhum (A case study: West Bengal, India)*. J. Earth Syst. Sci. 121, No. 6, PP. 1441-1454.
- Grubin, M. K., Bryan, R., 2006, *Lithological properties and weathering response on badland hillslopes*. (Elsevier), PP. 68 – 78.
- Katharina, A., 2006, *Characterisation of badlands and modeling of soil erosion in the Isabena watershed NE Spain*, PP. 1-84.

- *Lan, H. X., Zhou, C. H., Wang, L. J., Zhang, H. Y., Li, R. H., 2004, Landslide hazard spatial analysis and prediction using GIS in the Xiaojiang Watershed, Yunnan, China. Engineering Geology, No. 76, PP. 109-128.*
- *Lee, S., Sambath, T., 2006, Landslide susceptibility mapping in the Damrei Romel area, Cambodia using frequency ratio and logistic regression models. Environmental Geology, No. 50, PP. 847-855.*
- *Lee, S., 2004, Application of frequency ratio and logistic regression models to landslide susceptibility mapping using GIS. Environmental Management, 34(2), PP. 223–232.*
- *Pradhan, b., Lee, s., 2010, Landslide susceptibility assessment and factor effect analysis: backpropagation artificial neural networks and their comparison with frequency ratio and bivariate logistic regression modeling. Environmental Modelling, No. 25, PP. 747–759.*
- *Romero, E. N., Serrano, Sergio M. V., Jimenez, I., 2012, Assessment of badland dynamics using multi-temporal Landsat imagery: An example from the Spanish Pre-Pyrenees. Elsivier, Catena, PP. 1-11.*
- *Yalcin, A., Reis, S., Aydinoglu, A.C., Yomralioglu, T., 2011, A GIS-based comparative study of frequency ratio, analytical hierarchy process, bivariate statistics and logistics regression methods for landslide susceptibility mapping in Trabzon, NE Turkey, Catena, No. 85, PP. 274–287.*